

## บทที่ 2

### ทฤษฎี

ในบทที่ผ่านมาได้กล่าวถึง จุดเริ่มต้นของการทำวิจัย ที่มา ปัญหาและความสำคัญในการทำวิจัยเรื่องนี้ ตลอดจนการค้นคว้างานวิจัยที่เกี่ยวข้องต่างๆ เพื่อศึกษาความเป็นไปได้ในการค้นคว้าวิจัยเพื่อวิทยานิพนธ์ รวมทั้งได้กล่าวถึงวัตถุประสงค์ของงานวิจัยเรื่องนี้ด้วย สำหรับที่จะกล่าวถึงทฤษฎีต่างๆที่เกี่ยวข้องกับงานวิจัยซึ่งประกอบด้วย ทฤษฎีเกี่ยวกับวัสดุอิเล็กโทรเซรามิก (electroceramics) ที่เรียกว่าเทอร์มิสเตอร์(thermistor) ทั้ง 2 ชนิดคือเทอร์มิสเตอร์ชนิดต้มประสิทธิอุณหภูมิเป็นบวก(positive temperature coefficient thermistor,PTC) และเทอร์มิสเตอร์ชนิดสัมประสิทธิอุณหภูมิเป็นลบ(negative temperature coefficient thermistor,NTC) ซึ่งจะไปเน้นในรายละเอียดเกี่ยวกับทฤษฎีของเทอร์มิสเตอร์แบบ NTC เพราะงานวิจัยชิ้นนี้ได้เลือกวัสดุที่มีสมบัติเด่นทางด้านเทอร์มิสเตอร์แบบ NTC หลังจากนั้นจะกล่าวถึงเทคนิคการเรื่อมต่อคอมพิวเตอร์ และหลักการเชิงฟิสิกส์ของอุปกรณ์ตรวจวัดอุณหภูมิที่มีการผลิตทางการค้าคือเทอร์โมคับเบล(thermocouple) เมื่อจากได้ใช้เทอร์โมคับเบลในการวัดอุณหภูมิเพื่อเปรียบเทียบกับอุปกรณ์ตรวจวัดอุณหภูมิที่ได้สร้างขึ้นโดยใช้คอมพิวเตอร์ จึงมีความจำเป็นต้องรู้ทฤษฎีทางฟิสิกส์ที่เกี่ยวข้องกับเทอร์โมคับเบล สุดท้ายได้อธิบายเกี่ยวกับการวิเคราะห์โครงสร้างผลลัพธ์ของสารตัวอย่างด้วยเทคนิคการเลี้ยวเบนของรังสีเอกซ์ที่สอดคล้องตามกฎของแบร็อก (Bragg's law) เพื่อศึกษาโครงสร้างผลลัพธ์ของสารตัวอย่าง โดยมีรายละเอียดดังต่อไปนี้

#### 2.1 เทอร์มิสเตอร์

ในปัจจุบันมีความเจริญก้าวหน้าทางด้านเทคโนโลยีมากขึ้นทำให้มีการค้นพบวัสดุประเภทอิเล็กโทรเซรามิกและนำมาใช้ประโยชน์มากยิ่งขึ้น โดยส่วนใหญ่แล้วขอบข่ายของการใช้งานวัสดุเซรามิกประเภทนี้ครอบคลุมตั้งแต่เป็นอนุหัตม์สายไฟฟ้าแรงสูงระดับ 1000 กิโลโวลต์จนถึงเป็นอนุหัตม์แพร์บานง ๆ ในชิ้นส่วนอิเล็กทรอนิกส์ขนาดจิ๋วที่มีกำลังไฟฟ้าเพียง  $10^{-6}$  วัตต์ ซึ่งสภาพตัวแทนของวัสดุที่อุณหภูมิห้องจะอยู่ในช่วงค่อนข้างกว้าง เช่น  $\text{Al}_2\text{O}_3$ ,  $\text{SiO}_2$ ,  $\text{MgO}$  มีสภาพตัวแทนมากกว่า  $10^{14}$  โอม-เมตร (Richerson ,1982) สำหรับวัสดุอิเล็กโทรเซรามิกนั้นมีอยู่หลายชนิด เช่น เทอร์มิสเตอร์, อนุหัตม์ไฟฟ้า, ตัวเก็บประจุไฟฟ้าและไฟโซอิเล็กทริกส์เซรามิก

สำหรับวัสดุที่ศึกษาในงานวิจัยนี้คือวัสดุอิเล็กโทรเชรามิกสำหรับทำเป็นเทอร์มิสเตอร์ ซึ่งจัดเป็นทรานสิสเตอร์ทางความร้อนชนิดหนึ่งที่ใช้วัสดุอน庐มโดยอาศัยการเปลี่ยนแปลงค่าความต้านทานของวัสดุที่ทำเป็นเทอร์มิสเตอร์ ในที่นี้คือ อิเล็กโทรเชรามิกที่เป็นวัสดุกึ่งตัวนำ

ลักษณะแบบพลังงานของเชรามิกที่เป็นวัสดุกึ่งตัวนำนั้นจะมีช่องว่างแบบพลังงานที่ไม่กว้างมากนักคันอยู่ระหว่างแถบการนำ (conduction band) และแถบวาเลนซ์ (valence band) ซึ่งในสภาวะที่ไม่มีความร้อนเข้ามาเกี่ยวข้องหรืออุณหภูมิศูนย์องศาสัมบูรณ์วัสดุมีสมบัติเป็นฉนวนไฟฟ้า เพราะไม่มีอิเล็กตรอนที่จะนำไฟฟ้า นั่นคือที่อุณหภูมิ 0 เคลวิน ไม่เกิดมีการสัน และจะสันเพิ่มมากขึ้นเมื่ออุณหภูมิสูงขึ้นทำให้มีพลังงานถ่ายเทให้แก่อิเล็กตรอนจนกลายเป็นอิเล็กตรอนอิสระ ถ้าหากอิเล็กตรอนได้รับพลังงานเพิ่อกับหรือมากกว่าช่องว่างแบบพลังงาน อิเล็กตรอนก็จะเคลื่อนที่จากแถบวาเลนซ์ไปยังแถบการนำและเป็นพาหะประจุไฟฟ้าได้ ยิ่งอุณหภูมิสูงขึ้นจำนวนอิเล็กตรอนที่ได้รับพลังงานมากพอด้วยจะไปอยู่ในแถบการนำก็ยิ่งมากขึ้น ดังนั้นวัสดุกึ่งตัวนำจะนำไฟฟ้าได้ดีเมื่ออุณหภูมิสูงขึ้น ถ้าให้  $R$  เป็นความต้านทานของวัสดุกึ่งตัวนำ สมการพื้นฐานของความต้านทานกับความต่างศักย์ไฟฟ้าและกระแสไฟฟ้าซึ่งเป็นไปตามกฎของโอม (Ohm's law) ดังสมการที่ (2.1) และ (2.2)

$$R = \frac{V}{I} \quad (2.1)$$

และ

$$\rho = \frac{RA}{L} \quad (2.2)$$

โดยที่  $R$  คือความต้านทานของวัสดุ ( $\Omega$ )

$\rho$  คือสภาพต้านทานของวัสดุ ( $\Omega\text{-m}$ )

$A$  คือพื้นที่หน้าตัดของวัสดุที่ได้รับการทำข้าวไฟฟ้า ( $m^2$ )

$L$  คือความหนาของวัสดุ ( $m$ )

สำหรับการมีสารเจือปนในวัสดุกึ่งตัวนำ จะมีผลไปทำให้การนำไฟฟ้าของวัสดุลดลงเล็กน้อย แต่ถ้าหากมีการควบคุมการเติมสารเจือปน ก็จะเป็นผลดีต่อการนำไฟฟ้าของวัสดุเหล่านั้นคือการนำไฟฟ้าของวัสดุจะดีขึ้นกว่าการที่ไม่ได้เติมสารเจือปนในวัสดุกึ่งตัวนำ

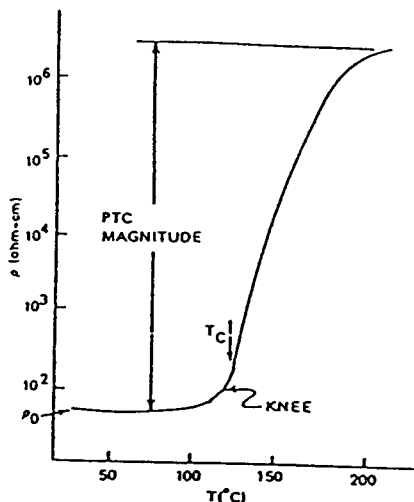
สำหรับเชรามิกที่เป็นวัสดุกึ่งตัวนำได้แก่  $\text{CoO}$ ,  $\text{NiO}$ ,  $\text{Cr}_2\text{O}_3$  และชนิดที่นำมาทำเป็นเทอร์มิสเตอร์ได้แก่  $\text{TiO}_2$ ,  $\text{Fe}_3\text{O}_4$ ,  $\text{NiO}$ ,  $\text{MgAl}_2\text{O}_4$ ,  $\text{MgCr}_2\text{O}_4$ ,  $\text{Zn}_2\text{Ti}_4$  สารเหล่านี้ค่อนข้างไวต่อ

อุณหภูมิ เช่น เทอร์มิสเตอร์ที่มีค่าความต้านทาน 100 กิโลโอมท์ที่อุณหภูมิน้อย อาจจะมีการเปลี่ยนค่าความต้านทานถึง 10 กิโลโอมท์เมื่ออุณหภูมิเปลี่ยนแปลงเพียง  $1^{\circ}\text{เซลเซียส}$

จากลักษณะการขึ้นกับอุณหภูมิของค่าความต้านทานนี้ สามารถกล่าวได้ว่าเทอร์มิสเตอร์เป็นตัวต้านทานที่ไวต่อความร้อน (thermally sensitive resistor) มีอยู่ 2 ชนิดคือเทอร์มิสเตอร์แบบ PTC และเทอร์มิสเตอร์แบบ NTC มีรายละเอียดดังนี้

### 2.1.1 เทอร์มิสเตอร์แบบ PTC

เทอร์มิสเตอร์แบบ PTC เป็นเทอร์มิสเตอร์ที่มีค่าความต้านทานหรือสภาพต้านทานเปลี่ยนแปลงที่อุณหภูมิคิริ<sup>4</sup> (Curie temperature,  $T_c$ ) มีลักษณะดังรูปที่ 2.1



รูปที่ 2.1 แสดงลักษณะของ  $\text{BaTiO}_3$  ซึ่งมีสมบัติเป็นเทอร์มิสเตอร์แบบ PTC (ที่มา : Buchanan, 1991: 305)

จากรูปที่ 2.1 พบร่วมกันว่าอุณหภูมิสูงกว่าอุณหภูมิคิริ ค่าสภาพต้านทานจะเพิ่มขึ้นอย่างรวดเร็ว ในขณะที่อุณหภูมิของสารตัวอย่างเพิ่มขึ้นซึ่งเกิดจากผลของการเปลี่ยนแปลงของโครงสร้างและ การเปลี่ยนแปลงสมบัติอิเล็กทรอนิกส์ (electronic properties) ที่ขอบเขตของเกรนส่งผลให้ สภาพต้านทานเพิ่มขึ้นในขณะที่อุณหภูมิเพิ่มขึ้น ซึ่งในขณะที่ป้อนความต่างศักย์ให้แก่สารตัวอย่าง อิเล็กตรอนจะเคลื่อนที่ผ่านขอบเขตของเกรน ภายในบริเวณขอบเขตของเกรนจะมีประจุบวกซึ่งจะ ทำหน้าที่จับอิเล็กตรอน แล้วทำให้ปริมาณอิเล็กตรอนที่จะทำให้เกิดกระแสไฟฟ้า (I) ลดลง ทำให้ ค่าความต้านทาน ( $R$ ) หรือสภาพต้านทาน ( $\rho$ ) ของสารเพิ่มขึ้น

<sup>4</sup> อุณหภูมิคิริจะเปลี่ยนแปลงจากไฟฟ้าไปเป็นอิเล็กทรอนิกส์เป็นพารามิเตอริก

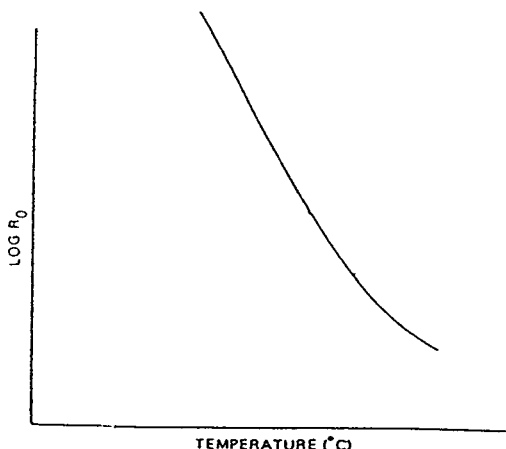
และจากรูปที่ 2.1 พบรวมว่า  $\text{BaTiO}_3$  มีการเปลี่ยนแปลงค่าสภาพด้านทานที่อุณหภูมิสูงกว่า อุณหภูมิคริซซ์อยู่ในช่วง  $120 - 130^\circ\text{C}$  และว่า  $\text{BaTiO}_3$  มีสมบัติเป็นเทอร์มิสเตอร์แบบ PTC

นอกจგกวัสดุกึ่งตัวนำ  $\text{BaTiO}_3$  ที่มีสมบัติเป็นเทอร์มิสเตอร์แบบ PTC แล้วยังมี  $\text{BaTiO}_3 + 0.01\text{La}_2\text{O}_3$  (BLT),  $\text{BaTiO}_3 + 0.01\text{Y}_2\text{O}_3$ ,  $\text{BaTiO}_3 + 0.01\text{Nb}_2\text{O}_3$ ,  $\text{BaTiO}_3 + 0.01\text{Sb}_2\text{O}_3$  ที่สามารถ นำมาทำเป็นเทอร์มิสเตอร์แบบ PTC ได้

สำหรับการประยุกต์ใช้งานสารตัวอย่างที่มีสมบัติเป็นเทอร์มิสเตอร์แบบ PTC นั้นส่วนใหญ่ จะนำไปทำอุปกรณ์ต่างๆ ดัง เช่น ตัวทำความร้อนอุณหภูมิคงที่ (constant temperature) ตัวทำ อากาศร้อนสำหรับเปาผ้า (honeeycome air heater or hair dryer) ตัวทำเป็นไอของน้ำมันใน รถยนต์ (auto fuel evaporator) อุปกรณ์จำกัดกระแส (current limiter) อุปกรณ์ตั้งเวลาในวงจร (circuit timer) หัววัดสำหรับป้องกันมอเตอร์ (sensor for motor protection) และอุปกรณ์ช่วย スタートมอเตอร์ (motor start assist) (Buchanan ,1991)

### 2.1.2 เทอร์มิสเตอร์แบบ NTC

เทอร์มิสเตอร์แบบ NTC เป็นเทอร์มิสเตอร์ที่ค่าความต้านทานของสารตัวอย่างลดลง ค่อนข้างเร็วในขณะที่อุณหภูมิเพิ่มขึ้น ดังรูปที่ 2.2



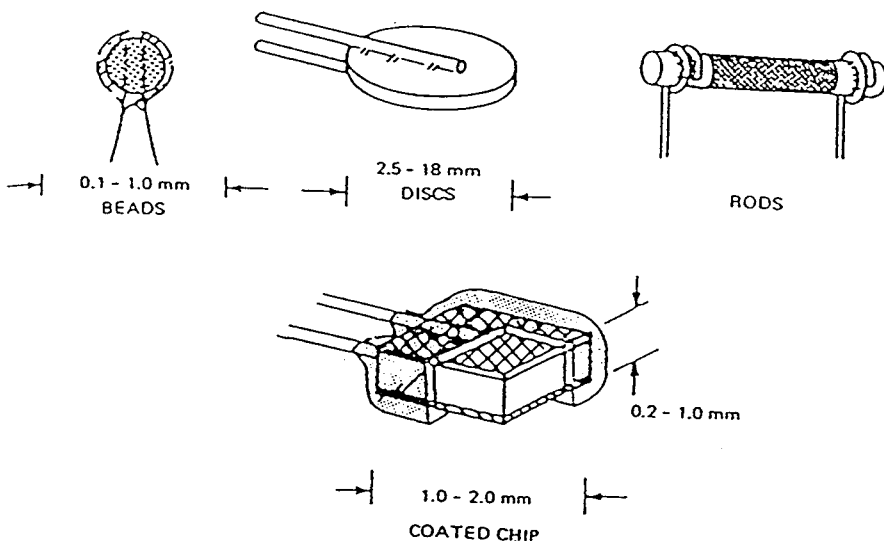
รูปที่ 2.2 แสดงตัวอย่างการลดลงของความต้านทานที่ขึ้นกับอุณหภูมิ (ที่มา : Buchanan, 1991: 276)

สาเหตุที่ค่าความต้านทานของสารตัวอย่างมีค่าลดลงในขณะที่อุณหภูมิเพิ่มขึ้นเกี่ยวข้อง กับโครงสร้างของແບບພลังงานອิเล็กตรอนย้ายจากແບບວาเลนซ์ไปยังແບບการนำทำให้ແບບວาเลนซ์ เกิดซ่องว่างที่เรียกว่าโฮล (hole) ขึ้น เมื่ออุณหภูมิสูงขึ้นทำให้เกิดคู่อิเล็กตรอน-โฮลมากขึ้น สงผล ให้ค่ากระแสไฟฟ้า ( $I$ ) ที่เกิดจากอิเล็กตรอนกับโฮลเคลื่อนที่เพิ่มขึ้น ทำให้ค่าความต้านทานไฟฟ้า ลดลงในขณะที่อุณหภูมิสูงขึ้น (Moulson และ Herbert, 1990 )

สำหรับสารที่ใช้ทำเป็นเทอร์มิสเตอร์แบบ NTC ส่วนใหญ่เป็นสารกึ่งตัวนำและจากสมการที่ (2.2) สามารถเขียนสมการให้อยู่ในรูปความสัมพันธ์ระหว่างความต้านทานกับสภาพต้านทานของสารตัวอย่างได้

$$R = \frac{\rho L}{A} \quad (2.3)$$

จากสมการที่ (2.3) จะเห็นว่าค่าความต้านทานของวัสดุที่มีสมบัติเป็นเทอร์มิสเตอร์แบบ NTC จะมีค่าขึ้นอยู่กับความหนาและพื้นที่หน้าตัดของสารที่ได้รับการทำข้าวไฟฟ้าดังรูปที่ 2.3



รูปที่ 2.3 แสดงตัวอย่างของเทอร์มิสเตอร์แบบ NTC ในรูปแบบต่างๆ (ที่มา : Buchanan, 1991: 273)

จากรูปที่ 2.3 พบร่วมกันว่าเทอร์มิสเตอร์แบบ NTC แต่ละรูปแบบจะมีขนาดแตกต่างกัน นั่นก็หมายความว่าความหนาและพื้นที่หน้าตัดของสารตัวอย่างจะมีค่าไม่เท่ากัน ส่งผลให้ค่าความต้านทานของสารตัวอย่างไม่เท่ากันด้วย (Buchanan, 1991)

นอกจากค่าความต้านทานที่มีสมบัติเป็นเทอร์มิสเตอร์แบบ NTC มีค่าขึ้นอยู่กับความหนาและพื้นที่หน้าตัดของสารที่ได้รับการทำข้าวไฟฟ้าแล้ว ยังมีค่าขึ้นอยู่กับอุณหภูมิที่สอดคล้องกับสมการทั่วไป (Moulson และ Herbert, 1990)

$$R(T) = R_\alpha e^{\frac{B}{T}} \quad (2.4)$$

- เมื่อ  $R(T)$  คือความต้านทานที่อุณหภูมิใดๆ ( $\Omega$ )  
 $R_\alpha$  คือค่าความต้านทานที่อุณหภูมิข้างอิง ( $\Omega$ )  
 $B$  คือดัชนีความไวในการตอบสนองต่ออุณหภูมิ ( $K$ )  
 $T$  คืออุณหภูมิ ( $K$ )

จากสมการที่ (2.4) พบว่าค่าความต้านทานของเทอร์มิสเตอร์ จะมีค่าลดลงแบบเอกซ์โพเนนเชียลในขณะที่อุณหภูมิเพิ่มขึ้น นั่นคือความสามารถในการนำไฟฟ้าของเทอร์มิสเตอร์ชนิดนี้จะเพิ่มขึ้นเมื่ออุณหภูมิเพิ่มขึ้น สามารถเขียนใหม่ได้ว่า

$$R_2 = R_1 e^{-B \left( \frac{1}{T_2} - \frac{1}{T_1} \right)} \quad (2.5)$$

- เมื่อ  $R_1$  คือความต้านทานที่อุณหภูมิ  $T_1$   
 $R_2$  คือความต้านทานที่อุณหภูมิ  $T_2$

เป็นที่ทราบจากสมการที่ (2.4) แล้วว่า  $B$  คือค่าดัชนีความไวในการตอบสนองต่ออุณหภูมิ ซึ่งเป็นค่าที่กำหนดความสามารถในการตอบสนองแต่อุณหภูมิของเทอร์มิสเตอร์ชนิดนี้ นั่นคือวัสดุ ไดาก์ตามที่มีค่า  $B$  มากแสดงว่าวัสดุนั้นมีความสามารถในการตอบสนองอุณหภูมิได้ดี แต่ถ้าวัสดุ ไดาก์ตามที่มีค่า  $B$  ต่ำ แสดงว่าวัสดุนั้นมีความสามารถในการตอบสนองต่ออุณหภูมิได้ไม่ดี และ จากสมการที่ (2.5) สามารถเขียนสมการให้อยู่ในรูปแบบของค่าดัชนีความไวได้ดังนี้

$$B(K) = \frac{1}{\left( \frac{1}{T_2} - \frac{1}{T_1} \right)} \cdot \ln \left( \frac{R_2}{R_1} \right) \quad (2.6)$$

- เมื่อ  $B(K)$  คือค่าดัชนีความไวในการตอบสนองต่ออุณหภูมิในหน่วยเคลวิน ( $K$ )

นอกจากค่า  $B$  เป็นค่าที่กำหนดความสามารถในการตอบสนองต่ออุณหภูมิของเทอร์มิสเตอร์แบบ NTC แล้วยังมีค่าสัมประสิทธิ์อุณหภูมิของความต้านทานที่เป็นลบ ( $\alpha$ ) เป็นค่าที่กำหนดความสามารถในการตอบสนองต่ออุณหภูมิของเทอร์มิสเตอร์ เช่นกัน กล่าวคือวัสดุ

ขึ้นคิดได้ก็ตามที่มีค่า  $\alpha$  สูง แสดงว่าวัสดุนั้นสามารถตอบสนองต่ออุณหภูมิได้ดีกว่าวัสดุมีค่า  $\alpha$  ต่ำ ซึ่งสามารถหาค่า  $\alpha$  ได้จากสมการที่ (2.7) (Moulton และ Herbert, 1990)

$$\alpha = \frac{1}{R} \frac{dR}{dT} \quad (2.7)$$

นำค่า  $R(T)$  จากสมการที่ (2.4) แทนลงในสมการที่ (2.7) จะได้ความสัมพันธ์ระหว่างค่า  $\alpha$  กับค่า  $B$  ซึ่งเป็นไปตามสมการ

$$\alpha = \frac{1}{R} \cdot \frac{dR}{dT} = \frac{1}{R_\alpha e^{\frac{B}{T}}} \cdot R_\alpha e^{\frac{B}{T}} \cdot \left(-\frac{B}{T^2}\right) \quad (2.8)$$

จากสมการที่ (2.8) จะได้ความสัมพันธ์ระหว่างค่า  $\alpha$  กับค่า  $B$  ดังสมการที่ (2.9)

$$\alpha = -\frac{B}{T^2} \quad (2.9)$$

จากสมการที่ (2.9) เขียนสมการให้อยู่ในรูปของ  $B$  จะได้ว่า

$$B = -\alpha T^2 \quad (2.10)$$

นำค่า  $B$  จากสมการที่ (2.10) แทนลงในสมการที่ (2.4) จะได้ความสัมพันธ์ระหว่างความต้านทานที่เกี่ยวข้องกับค่าสัมประสิทธิ์อุณหภูมิของความต้านทานที่เป็นลบดังสมการ

$$R(T) = R_\alpha e^{-\alpha T} \quad (2.11)$$

เมื่อ  $\alpha$  คือ ค่าสัมประสิทธิ์อุณหภูมิของความต้านทานที่เป็นลบ ( ${}^0\text{C}^{-1}$ )

พิจารณาตารางที่ 2.1 เพื่อเปรียบเทียบวัสดุชนิดต่างๆที่มีคุณสมบัติเป็นหัววัดเชิงความร้อน (thermal sensors) ดังต่อไปนี้

ตารางที่ 2.1 แสดงการเปรียบเทียบวัสดุชนิดต่างๆที่มีคุณสมบัติเป็นหัววัดเชิงความร้อน

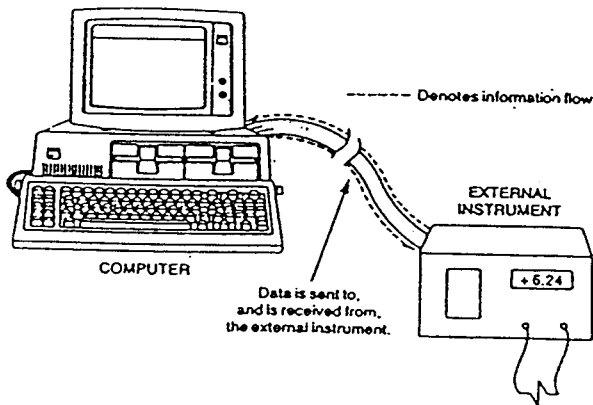
Sensor material	$\alpha = \frac{1}{R} \frac{dR}{dT}$ (%/°C)	stability	Temperature range (°C)
Metals	+0.1 to 0.5	Fair to good	100-200
Silicon	+0.1	Fair to good	150
BaTiO <sub>3</sub> (PTC)	+10 to 100	Good at T <sub>c</sub>	200+
NTC	-6.0 to -1.0	Good to excellent	300

(ที่มา : Buchanan, 1991: 277)

## 2.2 เทคนิคการเชื่อมต่อคอมพิวเตอร์

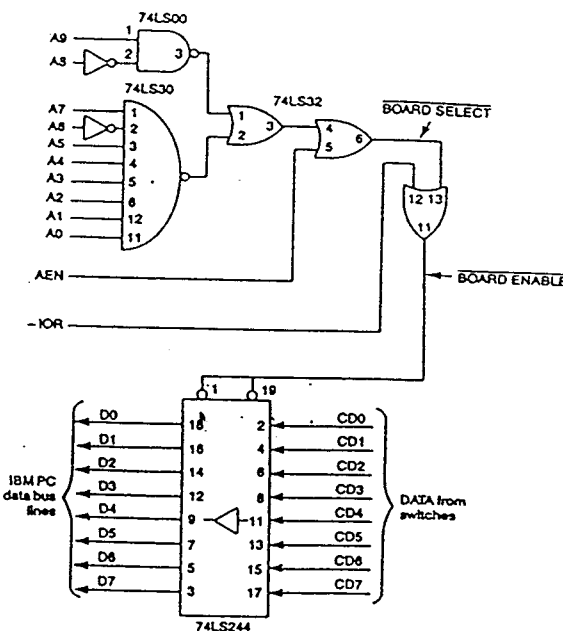
ปัจจุบันนี้คอมพิวเตอร์มีบทบาทเป็นอย่างมากในวงการต่างๆไม่ว่าทางด้านการศึกษา ธุรกิจ อุตสาหกรรมและวงการอื่นๆ การใช้งานเป็นไปอย่างกว้างขวาง โดยเฉพาะงานด้านซอฟต์แวร์ทำให้การทำงานในวงการเหล่านั้นมีประสิทธิภาพเพิ่มขึ้น อย่างไรก็ตาม ยังมีงานส่วนหนึ่งที่ไม่ควรละเลยหรือมองข้ามคือ งานการประยุกต์เชื่อมต่อคอมพิวเตอร์เข้ากับเครื่องมือต่างๆ และงานทดลอง ไม่ว่าเครื่องมือหรือชุดทดลองนั้นจะสร้างขึ้นใช้งานเองหรือสั่งซื้อเข้ามา งานในด้านนี้ปัจจุบันยังไม่เคยเป็นที่แพร่หลายโดยทั่วไป การเชื่อมต่อเข้ากับคอมพิวเตอร์สามารถทำให้เราสามารถวิเคราะห์งานได้อย่างมีประสิทธิภาพส่งผลโดยตรงในการควบคุมงานให้ดียิ่งขึ้น และเสียค่าใช้จ่ายน้อย สำหรับงานวิจัยนี้ได้สร้างระบบการทดลองโดยอาศัยหลักการเชื่อมต่อคอมพิวเตอร์ซึ่งจะกล่าวถึงในรายละเอียดดังต่อไปนี้

ไมโครคอมพิวเตอร์ (microcomputer) ส่วนบุคคล IBM PC นอกจากใช้งานในด้านซอฟต์แวร์แล้วยังสามารถใช้งานในการเชื่อมต่อเข้ากับเครื่องมือภายนอกต่างๆเพื่อทำการวัดปริมาณทางกายภาพ และส่งผลกลับในแง่การควบคุมปริมาณทางกายภาพที่ล้อมรอบตัวเรา ซึ่งปริมาณทางกายภาพเหล่านี้ ได้แก่ อุณหภูมิ ความชื้น ความเข้มแสง เป็นต้น ซึ่งคอมพิวเตอร์มีเส้นทางที่ใช้ในการเชื่อมตอกับเครื่องมือภายนอกโดยมีการเรียกชื่อมูลเข้ามา และเมื่อต้องการควบคุมก็ทำการส่งข้อมูลออก แสดงดังรูปที่ 2.4



รูปที่ 2.4 การนำข้อมูลเข้าและส่งข้อมูลออก (ที่มา : Coffron, 1981: 3)

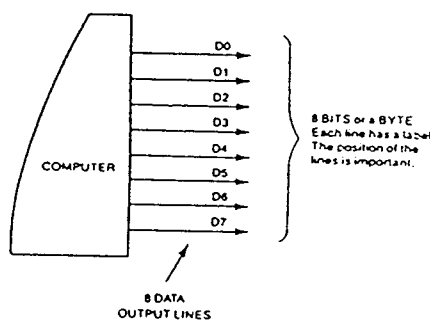
สำหรับการนำข้อมูลเข้าใช้ IC เบอร์ 74LS244 เป็นบpfเพอร์ของข้อมูล และต้องมีการอินาเบิลเพื่อนำข้อมูลเข้าทางสายข้อมูล(data bus) จะนั้นจำเป็นต้องเชื่อมต่อสายสัญญาณนี้เข้ากับวงจรอินาเบิล รายละเอียดของวงจรอินพุตบpfเพอร์แสดงดังรูปที่ 2.5



รูปที่ 2.5 รายละเอียดวงจรอินพุตบpfเพอร์ (ที่มา : Coffron, 1981: 86)

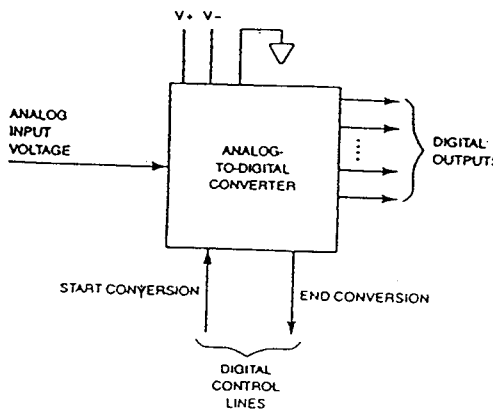
จากรูปที่ 2.5 ที่ตัวแทน CD<sub>0</sub>-CD<sub>7</sub> ทำการเชื่อมต่อกับบิต 8 ทาง (16 ขา) เพื่อทำการสับสวิตซ์ ON-OFF เป็นข้อมูลเข้าของแต่ละบิต (D<sub>0</sub>-D<sub>7</sub>) เพื่อให้ข้อมูลที่เข้าสู่ IC 74LS244 มีลักษณะ 0 และ 1 ซึ่งสามารถแสดงผลได้โดยใช้ LED 8 ตัว

สำหรับแอดเดรส (address) ของข้อมูลเปรียบเสมือนเลขที่บ้าน ซึ่งใช้ในการติดต่อสื่อสาร แบ่งเป็น 2 ส่วน คือ ส่วนหนึ่งใช้ติดต่อกันอยู่ระหว่างภายในเครื่องคือในส่วนที่เรียกว่า หน่วยความจำ (memory) อีกส่วนหนึ่งใช้ติดต่อกับภายนอกคือส่วนที่เรียกว่าพอร์ต (port) ซึ่ง แบ่งออกว่าพอร์ตหรือเลขที่บ้านที่ใช้ติดต่อกับอุปกรณ์ภายนอก ต้องมีหมายเลขในการติดต่อ โดยมี การจัดสรรให้แน่นอน ไม่ซ้ำซ้อนกันเกิดขึ้น การสื่อสารภายในคอมพิวเตอร์มีสายข้อมูล (data bus) เพื่อส่งและรับข้อมูลถึงกัน การส่งและรับข้อมูล ถ้าเมื่อมีตำแหน่งในการส่งและรับข้อมูล ก็ไม่รู้ว่า ส่งไปที่ไหนและให้ที่ได้รับ จึงจำเป็นต้องมีสายแอดเดรส (address bus) ในการกำหนดตำแหน่ง ภายในคอมพิวเตอร์ซึ่งในส่วนของข้อมูลระบบไม่គุกคอมพิวเตอร์ IBM PC มีสายส่งข้อมูล 8 สาย คือ D<sub>0</sub>-D<sub>7</sub> เราเรียกว่าข้อมูล 8 บิตหรือ 1 ไบต์แสดงดังรูปที่ 2.6



รูปที่ 2.6 การส่งข้อมูลออก (ที่มา : Coffron, 1981: 28)

สำหรับการที่จะให้คอมพิวเตอร์เชื่อมต่อเข้ากับสัญญาณอนาลอก เช่น แรงดันไฟฟ้า โดยตรงนั้นไม่สามารถทำได้ จึงจำเป็นต้องมีการแปลงสัญญาณอนาลอกให้เป็นสัญญาณดิจิตอล โดยใช้ตัวแปลงสัญญาณที่เรียกว่าทรานส์ดิวเซอร์(transducer) ซึ่งสามารถกระทำได้โดยวงจร อิเล็กทรอนิกส์ที่เรียกว่า วงจรการแปลงสัญญาณอนาลอกเป็นดิจิตอล (Analog-to-digital converter:ADC หรือ A/D) เป็นการแปลงสัญญาณแรงดันในช่วงใดๆ ให้เป็นสัญญาณดิจิตอล เพื่อที่จะนำไปใช้กับ IBM PC ดังรูปที่ 2.7



รูปที่ 2.7 ไดอะแกรม ADC หรือ A/D (ที่มา : Coffron, 1981: 161)

จากรูปที่ 2.7 สมมุติว่าแรงดันไฟฟ้าที่เข้าเครื่องคอมพิวเตอร์มีค่า 0 ถึง 5 โวลต์ เมื่อผ่านวงจร ADC แล้ว วงจร ADC จะทำหน้าที่แปลงแรงดันไฟฟ้าให้เป็นแรงดันดิจิตอลมีค่าเป็นโลจิก 0 หรือ 1 ตามลำดับ

### 2.3 อุปกรณ์ตรวจวัดอุณหภูมิ

อุปกรณ์ที่ใช้ในการตรวจวัดอุณหภูมนั้นมีอยู่หลายชนิดด้วยกัน โดยอุปกรณ์แต่ละชนิดจะอาศัยหลักการเปลี่ยนแปลงสมบัติเฉพาะของสาร ซึ่งหลักการที่ใช้ในการวัดอุณหภูมิโดยทั่วไปนั้นสามารถแบ่งออกได้ดังต่อไปนี้

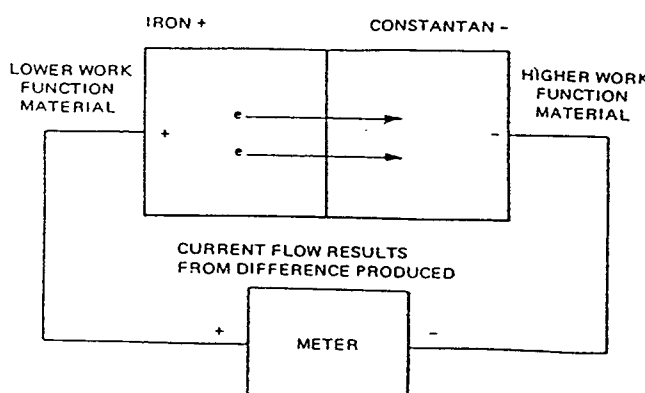
- อาศัยการเปลี่ยนแปลงสมบัติเชิงกล เช่น เทอร์โมมิเตอร์ แบบโลหะคู่
- อาศัยการเปลี่ยนแปลงความดันก๊าซหรือไออกซิเจน เช่น เทอร์โมมิเตอร์แบบความดัน
- อาศัยการเปลี่ยนแปลงสมบัติทางไฟฟ้า เช่น เทอร์โมคัปเปิล อาร์ทีดี เทอร์มิสเตอร์
- อาศัยการเปลี่ยนแปลงสมบัติทางแสงและการแผ่รังสี เช่น ไฟโรมิเตอร์
- อาศัยหลักการโดยวิธีการทางเคมี เช่น ใช้วิธีการเปลี่ยนลีดอุปกรณ์ตรวจจับ

จากหลักการในการตรวจวัดอุณหภูมิในหลาย ๆ วิธีดังกล่าว การตรวจวัดอุณหภูมิโดยอาศัยการเปลี่ยนแปลงสมบัติทางไฟฟ้า จะนิยมนำมาใช้มากที่สุด เนื่องจากสัญญาณที่ได้จากการอุปกรณ์เหล่านี้สามารถนำไปต่อร่วมกับวงจรไฟฟ้าหรืออิเล็กทรอนิกส์เพื่อการแสดงผลในเชิงตัวเลข หรือเพื่อควบคุมระบบตามที่ต้องการ

สำหรับงานวิจัยนี้ ผู้วิจัยได้ใช้สารตัวอย่างที่มีสมบัติเป็นเทอร์โมเตอร์แบบ NTC โดยการสร้างระบบการเรื่องต่อด้วยคอมพิวเตอร์เพื่อให้คอมพิวเตอร์ทำหน้าที่อ่านอุณหภูมิ และได้ใช้อุปกรณ์ตรวจวัดอุณหภูมนิิดเทอร์โมคับเปลี่ยนที่เป็นอุปกรณ์สำเร็จรูป สำหรับวัดอุณหภูมิเพื่อเปรียบเทียบอุณหภูมิที่อ่านได้จากคอมพิวเตอร์กับอุณหภูมิที่อ่านได้จากเทอร์โมคับเปลี่ยน ซึ่งจะกล่าวถึงในหลักการเชิงพิสิกส์ของอุปกรณ์ตรวจวัดอุณหภูมนิิดเทอร์โมคับเปลี่ยน กล่าวคือ

เทอร์โมคับเปลี่ยน (thermocouple) จัดได้ว่าเป็นทรานซิสเตอร์สามารถสร้างหรือผลิตแรงดันไฟฟ้าได้ด้วยตัวของมันเอง เทอร์โมคับเปลี่ยนจะทำให้เกิดแรงดันไฟฟ้าเมื่ออุณหภูมิเปลี่ยนแปลงไป ซึ่งประกอบด้วยเส้นลวดโลหะต่างชนิดกันสองเส้นต่อเข้าด้วยกันที่ปลายข้างหนึ่ง ส่วนปลายอีกข้างหนึ่งถูกนำไปต่อใช้งาน ปลายของเส้นลวดที่ต่อเข้าด้วยกันนี้เรียกว่ารอยต่อร้อน (hot junction) ส่วนปลายอีกข้างหนึ่งเรียกว่ารอยต่อเย็น (cold junction) ซึ่งเป็นปลายด้านที่ต่อไปใช้งาน เมื่อจุดรอยต่อร้อนได้รับความร้อนและมีอุณหภูมิสูงขึ้นก็จะทำให้เกิดแรงดันไฟฟ้าที่สามารถวัดค่าได้ที่จุด รอยต่อเย็น สำหรับพฤติกรรมที่ปรากฏของเทอร์โมคับเปลี่ยนนั้นสามารถอธิบายได้ด้วยผลการทดลองของซีเบค (seebeck effect)

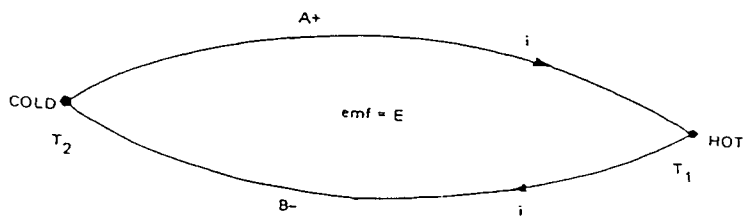
Thomas Seebeck นักวิทยาศาสตร์ชาวเยอรมัน เป็นผู้ค้นพบอุปกรณ์ที่สามารถให้แรงดันไฟฟ้าที่เกิดจากความร้อน (thermoelectric voltage) ขึ้นครั้งแรกโดยไม่คาดคิดมาก่อนในเวลาหนึ่ง เขายังได้นำลวดโลหะต่างชนิดกันมาต่อปลายเข้าด้วยกันแสดงดังรูปที่ 2.8



รูปที่ 2.8 แสดงการจัดชุดทดลองสำหรับปรากฏการณ์ซีเบค (ที่มา: พรจิต, 2541:67)

จากรูปที่ 2.8 Seebeck ได้อธิบายผลที่เกิดขึ้นจากการทดลองว่า ถ้าให้ความร้อนที่ปลายข้างหนึ่งของเส้นลวดโลหะต่างชนิดกันที่ติดกันอยู่ กระแสที่ไหลจะเปลี่ยนแปลงไปตามค่าของอุณหภูมิที่แตกต่างกันระหว่างรอยต่อร้อนกับรอยต่อเย็น ซึ่งการไหลของกระแสเหล่านี้เกิดจากความปั่นป่วนของอิเล็กตรอนตรงจุดสัมผัส

ซึ่งวัตถุที่ใช้นั้นจะต้องเป็นวัตถุที่มีพลังงานยึดเหนี่ยวของอิเล็กตรอนในอะตอมไม่เท่ากัน ในที่นี้ขอเรียกใหม่ว่า พังก์ชันงาน (work function) วัตถุที่มีพังก์ชันงานที่ต่ำกว่า (lower work function material) จะให้อิเล็กตรอนได้เร็วกว่าวัตถุที่มีพังก์ชันงานที่สูงกว่า (higher work function material) ดังนั้นเมื่ออุณหภูมิเพิ่มขึ้น อิเล็กตรอนก็จะปล่อยออกจากการวัตถุที่มีพังก์ชันงานต่ำกว่า ซึ่งจะเป็นผลทำให้เกิดเป็นขั้นบวกขึ้น ที่ระดับอุณหภูมิคงที่ จำนวนอิเล็กตรอนที่ปลดปล่อยออกมาก็จะมีจำนวนคงที่และกระแสจะไหลสม่ำเสมอ เมื่ออุณหภูมิสูงขึ้น จำนวนอิเล็กตรอนที่ถูกปลดปล่อยออกมาก็จะมากขึ้นกระแสก็จะ流มากขึ้น จากปรากฏการณ์ดังกล่าวสามารถแสดงได้ดังรูปที่ 2.9



รูปที่ 2.9 แสดงการเกิดปรากฏการณ์ซีเบค (ที่มา: พrajit, 2541:67)

จากรูปที่ 2.9 กระแสไฟฟ้าที่เกิดขึ้นจะไหลอยู่ตลอดเวลาตราบเท่าที่จุดต่อทั้งสองข้างมีอุณหภูมิที่แตกต่างกัน แรงดันไฟฟ้าซึ่งเกิดจากการไหลของกระแสเหล่านี้คือแรงดันไฟฟ้าที่เกิดจากความร้อน ถ้าให้  $E$  เป็นแรงดันไฟฟ้าของเทอร์โมคัปเปิล หรือแรงดันไฟฟ้าของ Seebeck จะได้ว่า

$$E = c(T_1 - T_2) + k(T_1^2 - T_2^2) \quad (2.12)$$

เมื่อ  $c, k$  = ค่าคงที่ของเทอร์โมคัปเปิลแต่ละชนิด

$T_1$  = อุณหภูมิของจุดที่ใช้ในการวัดค่า (hot junction) (K)

$T_2$  = อุณหภูมิของจุดอ้างอิง (cold junction) (K)

## 2.4 การวิเคราะห์โครงสร้างผลึกของสารตัวอย่าง

รังสีเอกซ์เป็นคลื่นแม่เหล็กไฟฟ้า (electromagnetic radiation) ที่มีพลังงานสูงและมีความยาวคลื่น (wavelength) สั้น (0.05-0.25 nm) สามารถคำนวณพลังงานของรังสีเอกซ์ได้จากสมการ

$$E = h\nu = \frac{hc}{\lambda} \quad (2.13)$$

โดยที่  $E$  คือพลังงานของรังสีเอกซ์ รังสีเอกซ์ที่มีพลังงานในช่วง 10-50 keV โวลต์ เป็นค่าที่นำมาศึกษาโครงสร้างผลึก

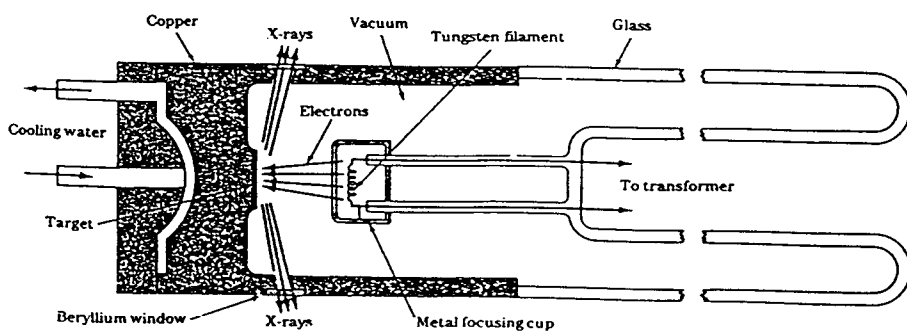
$h$  คือค่าคงที่ของแพลนค์ (Plank's constant) มีค่าเท่ากับ  $6.62 \times 10^{-34}$  J/s

$\nu$  คือความถี่ (Hz)

$c$  คือความเร็วแสงในสุญญากาศ มีค่าเท่ากับ  $3 \times 10^8$  m/s

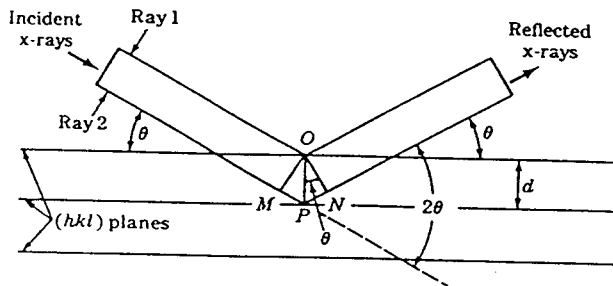
$\lambda$  คือความยาวคลื่น (m)

รังสีเอกซ์เกิดจากการเคลื่อนที่ของอิเล็กตรอนที่ถูกเร่งในสนามไฟฟ้าให้มีพลังงานสูงมาก วิ่งเข้าชนเป้าซึ่งทำด้วยโลหะหนักดังรูปที่ 2.10 ผลของการชนก่อให้เกิดรังสีเอกซ์ 2 ชนิดคือรังสีเอกซ์ต่อเนื่อง (continuous x-ray) กับรังสีเอกซ์เฉพาะตัว (characteristic x-ray) รังสีเอกซ์จะแสดงสมบัติเชิงคลื่นคือเกิดการเลี้ยวเบน (diffraction) เมื่อผ่านช่องร่องระหว่างอะตอมในผลึกและหลังจากคลื่นผ่านโครงสร้างผลึกออกมายจะเกิดการแทรกสอด (interference) ทั้งแบบเสริมและแบบหักล้างกัน



รูปที่ 2.10 ภาคตัดขวาง(cross section) ของหลอดรังสีเอกซ์ (ที่มา : Smith,W.F.,1990:103)

แบรกค์ (Bragg) เป็นนักฟิสิกส์ชาวอังกฤษได้ตั้งกฎการเลี้ยวเบนของรังสีเอกซ์ไว้ว่า รังสีเอกซ์จะแทรกสอดกันแบบเสริมมากที่สุดเมื่อมีการกระเจิงออกจากแต่ละระนาบด้วยความยาวคลื่นที่แตกต่างกันเป็นจำนวนเท่าของความยาวคลื่นรังสีเอกซ์ เรียกว่ากฎของแบรกค์ (Bragg's law) ดังรูปที่ 2.11



รูปที่ 2.11 แสดงทางเดินรังสีเอกซ์ (ที่มา : Smith,W.F.,1990, : 103)

จากรูปที่ 2.11 รังสีเอกซ์ที่ 1 มีเฟสร่วม (in phase) กับรังสีเอกซ์ที่ 2 แต่รังสีเอกซ์ที่ 2 มีทางเดินรังสียาวกว่าทางเดินของรังสีที่ 1 เป็นระยะทาง MP+PN จากกฎของแบรกค์ ผลต่างทางเดินนี้ต้องมีค่าเท่ากับ  $g\lambda$  โดยที่  $g$  หมายถึงจำนวนเท่า และ  $\lambda$  คือความยาวคลื่น นอกจานั้น จะเห็นว่าระยะ MP และ PN ต่างมีค่าเท่ากับ  $d_{hkl} \sin \theta$  ดังนั้น

$$n\lambda = 2d_{hkl} \sin \theta \quad (2.14)$$

เมื่อ  $d_{hkl}$  คือระยะระหว่างระนาบ

$\theta$  คือมุมสะท้อนจากระนาบแบรกค์ของรังสีเอกซ์ซึ่งเท่ากับมุมตกกระทบ

$n$  คืออันดับการเลี้ยวเบนมีค่าตั้งแต่ 1,2,3,...

วิธีการเลี้ยวเบนรังสีเอกซ์ใช้ศึกษาโครงสร้างผลึกของสารตัวอย่าง ซึ่งใช้รังสีเอกซ์ความยาวคลื่นเดียวตกกระทบสารตัวอย่างที่บดเป็นผงละเอียด ทำให้ผลึกต่างๆ ของสารตัวอย่างมีการวางตัวแบบสุ่ม ระนาบต่างๆ ในผลึกไม่ได้ก่อให้เกิดการเลี้ยวเบนเสมอไป ระนาบใดที่รังสีเอกซ์ตกกระทบแล้วกระเจิงออกมาย่างสอดคล้องกับกฎของแบรกค์เรียกว่าระนาบแบรกค์ (Bragg plane)

มุมที่รังสีสะท้อนทำกับระนาบที่ขานานกับรังสีต่อกระบที่เรียกว่ามุมเลี้ยวเบน (diffraction angle) ซึ่งมีค่าเป็น 2 เท่าของมุมสะท้อน จากนั้นความเข้ม (intensity) ของรังสีเอกซ์ที่เลี้ยวเบน และมุมเลี้ยวเบนต่างๆ จะถูกตรวจหาด้วยดิฟเฟรากโตมิเตอร์(diffractometer) และนำค่าทั้งสองที่บันทึกไว้ในเคราะห์โครงสร้างผลึกของตัวอย่างต่อไป กราฟความสัมพันธ์ระหว่างความเข้มและมุมเลี้ยวเบนที่ได้เรียกว่าลดลายการเลี้ยวเบน(difraction pattern) ซึ่งจะไม่มีการซ้ำกันเลยสำหรับธาตุหรือสารประกอบต่างชนิดกัน

จากการเลี้ยวเบนรังสีเอกซ์ที่ระนาบต่างๆ ในผลึก เมื่อใดที่รังสีเอกซ์เลี้ยวเบนแล้วแทรกสอดแบบเสริมกัน ความเข้มรังสีเอกซ์จะมีมากซึ่งสังเกตได้จากยอด (peak) ในลดลายการเลี้ยวเบนและยอดเหล่านั้น จะปรากฏที่มุมเลี้ยวเบนเดิมเสมอสำหรับธาตุหรือสารประกอบชนิดเดียวกัน

การวิเคราะห์โครงสร้างผลึก สามารถนำข้อมูลที่ได้จากลดลายการเลี้ยวเบนมาวิเคราะห์ได้ โดยการหาระยะระหว่างระนาบในผลึกซึ่งมีความสัมพันธ์กับมุมเลี้ยวเบนที่อ่านจากลดลายการเลี้ยวเบน